

## رتبه‌بندی و انتخاب فیلتر مناسب کاهش نویز گاوی با روش تاپسیس

مهرداد نباشت<sup>۱</sup>، فرزین مدرس خیابانی<sup>۲</sup>، نیما جعفری نویمی‌پور<sup>۳</sup>

### چکیده

در اغلب تحلیل‌های پردازش تصویر کاهش قابل توجه نویز تصویر، بسیار مهم است. نویزهای مختلفی می‌تواند باعث خرابی تصویر شود که از معروف‌ترین آن‌ها نویز گاوی می‌باشد. روش‌های مختلفی برای کاهش نویز تصویر وجود دارد از جمله روش‌های مبتنی بر تبدیلات، روش‌های مبتنی بر فیلتر و روش‌های غیر محلی. در اغلب روش‌های ارائه شده فقط یک معیار (از جمله نسبت سیگنال به نویز) برای کاهش نویز تصویر در نظر گرفته می‌شود و حتی برخی از روش‌ها کیفیت تصویر و جزئیات ساختاری تصویر از جمله خطوط و لبه‌های تصویر را حفظ نمی‌کنند. بنابراین در این مقاله با استفاده از روش تاپسیس به رتبه‌بندی فیلترهای مختلف رفع نویز گاوی با توجه به معیارهای متفاوت که در ارزیابی کیفیت تصویر اثر گذارند، می‌پردازیم. در واقع می‌خواهیم بدانیم با توجه به درجه انحراف معیار نویز گاوی از چه فیلتر رفع نویزی استفاده شود که هم زمان دارای هر یک از معیارهای مدنظر باشد. نتایج محاسباتی روش پیشنهادی روى تصاویر با درجه انحراف‌های مختلفی از نویز گاوی بررسی شده و در نتیجه فیلتر مناسب با آن درجه از نویز گاوی برای کاربرد مشخص می‌شود.

### کلیدواژه‌ها

کاهش نویز تصویر، نویز گاوی، روش تاپسیس، پردازش تصویر.

### ۱ مقدمه

سنسور، فوکوس اشتباه دوربین، حرکت نسبی شیء و دوربین، تلاطم جوی تصادفی<sup>[۱]</sup>. بنابراین هدف اصلی رفع نویز، کاهش میزان نویز تصویر و افزایش کیفیت تصویر است<sup>[۲]</sup>. کاهش نویز تصویر می‌تواند در حوزه‌ی سخت افزاری و نرم افزاری صورت گیرد که علیرغم پیشرفت‌های جدید در اپتیک‌ها و سخت افزارها برای کاهش اثرات نامطلوب نویز تصاویر، روش‌های مبتنی بر نرم افزار که شامل برخی الگوریتم‌های مبتنی بر پارامتر است بخاطر عدم وابستگی به نوع دستگاه و گستردگی کاربردشان بیشتر مورد توجه قرار گرفته شده است.

در سال‌های اخیر روش‌های مختلف مبتنی بر فیلتر که به دو دسته‌ی خطی و غیر خطی تقسیم می‌شوند معرفی شده است، از جمله‌ی فیلترهای خطی می‌توان به فیلتر میانگین<sup>[۳]</sup> اشاره کرد. ایده‌ی اصلی این فیلتر جایگزینی مقادیر هر یک از پیکسل‌های تصویر با مقدار میانگین درون یک پنجره از جمله خود پیکسل می‌باشد. این فیلتر به رفع نویز تصویر پرداخته ولی باعث تاری لبه‌های تصویر می‌شود. از فیلترهای خطی دیگر می‌توان به فیلتر وینز<sup>[۴]</sup> اشاره کرد. این فیلتر به رفع نویز و تاری از سیگنالی که باعث

در سال‌های اخیر، تصاویر دیجیتالی کاربردهای وسیعی در حوزه‌ی مختلف علوم تجربی و مهندسی مانند تصویربرداری پزشکی، تصویربرداری رزونانس، توموگرافی کامپیوترا، مشاهدات ماهواره‌ای و غیره داشته‌اند. تصاویری که توسط سنسورهای مختلفی گرفته می‌شوند عمولاً آخشته به نویز<sup>[۵]</sup> می‌باشند. نویزهای مختلف که بر کیفیت تصویر اثر می‌گذارد توسط فاکتورهای جویباً عوامل سخت افزاری ایجاد می‌شود از قبیل: نویز

این مقاله در آبان ماه سال ۱۳۹۹ دریافت، در بهمن ماه بازنگری و متعاقباً پذیرفته شد.

۱ دانشجوی دکتری ریاضی، واحد تبریز، دانشگاه آزاد اسلامی، تبریز، ایران

رایانامه: M\_nteach2009@yahoo.com

۲ گروه ریاضی، واحد تبریز، دانشگاه آزاد اسلامی، تبریز، ایران.

رایانامه: F.modarres@iaut.ac.ir

۳ گروه کامپیوتر، واحد تبریز، دانشگاه آزاد اسلامی، تبریز، ایران

رایانامه: Jafari@iaut.ac.ir

استفاده کردند. فروسیو و کاتز<sup>[۱۱]</sup> نزدیکترین همسایگان آماری را برای کاهش نویز تصویر در نظر گرفته و دریافتند که بکارگیری نزدیکترین همسایه باعث کاهش بار محاسباتی روش میانگین غیر محلی می‌شود. آنها نزدیکترین همسایه آماری را عنوان معیار مجموعه‌ی همسایه‌های نامتشابه برای کاهش انحرافات ایجاد شده در تکه‌های بدون نویز معرفی کردند. روش معروفی شده‌ی آنها هم برای نویز سفید و هم رنگی بهتر از روش سنتی عمل می‌کند. آنها نشان دادند که نزدیکترین همسایه آماری باعث بهبود کیفیت تصویر در مورد فیلتر دوطرفه نیز می‌شود.

فیلتر دوطرفه<sup>[۱۲]</sup> یک فیلتر غیر خطی با میانگین فضایی می‌باشد که حافظ لبه‌های تصویر است و یک فیلتر کارا برای کاهش نویز است. عملکرد این فیلتر به انتخاب صحیح پارامترهای این فیلتر بستگی دارد که ربطی به تصویر نداشته و نیازمند تلاش‌های تجربی است. ساکتیداسان و ناگاپان<sup>[۱۳]</sup> با استفاده از فیلتر دوطرفه و الگوریتم رزنتیک تطبیقی، روشی برای کاهش نویز و بازسازی تصویر ارائه دادند. آنها به کاهش نویز تصویر با بکارگیری فیلتر ترکیبی با الگوریتم رزنتیک تطبیقی پرداختند. نتایج بدست آمده از تکنیک پیشنهادی آنها بیانگر این است که روش آنها عملکرد بهتری در کاهش انواع تصاویر نویزدار با افزایش PSNR<sup>[۱۴]</sup> و انگ و همکاران<sup>[۱۵]</sup> یک روش اتوماتیک برای انتخاب پارامترهای فیلتر دوطرفه با بکارگیری الگوریتم تراکم ذرات (PSO)<sup>[۱۶]</sup> ارائه دادند که از معیار SSIM<sup>[۱۷]</sup> بنویان تابع برآورده‌ی برای ارزیابی کیفیت تصویر استفاده کردند. آسونکان و آینتا<sup>[۱۸]</sup> به بهینه‌سازی پارامترهای فیلتر دوطرفه با استفاده از الگوریتم‌های تراکم ذرات، جستجوی فاخته و جستجوی فاخته تطبیقی برای کاهش نویز تصاویر ماهواره‌ای پرداختند. دو و همکاران<sup>[۱۹]</sup> روشی موثر برای کاهش نویز با بکارگیری عملیات مورفولوژیکی و الگوریتم تراکم ذرات چند هدفه ارائه دادند. آنها در ابتدا فیلتر مورفولوژیکی ترکیبی سری و موازی با توجه به عمل باز-بسته، ایجاد کرده و یک عضو ساختاری با ابعاد مختلف که به رفع تمامی نویزها در یک پیوند سری پردازد را انتخاب کرده، سپس از الگوریتم تراکم ذرات چند هدفه برای تنظیم پارامترهای چندگانه عضو ساختاری استفاده کردند. کومار و همکاران<sup>[۲۰]</sup> روش‌های تطبیقی برای برای بازسازی تصاویر نویزدار ارائه دادند. آنها نویز تصویر را توسط فیلتر میانه فازی حذف کرده و برای از بین بردن ماتی تصویر از الگوریتم تراکم ذرات تطبیقی مبتنی بر الگوریتم لوسی ریچاردسن برای بازسازی تصویر استفاده کردند. کرمی و تفکری<sup>[۲۱]</sup> از برخی ویژگی‌های توزیع کوشی استفاده کرده و با در نظر گرفتن توزیع کوشی تعمیم یافته ماسکی را طراحی کرده که باعث کاهش نویز تصویر می‌شود. آنها به بهینه

تخربی تصویر شده است می‌پردازد. این فیلتر در واقع مجدوّر خطاهای بین فیلترینگ معکوس و رفع نویز را کمینه می‌کند. با وجود اینکه فیلتر وینر به خوبی می‌تواند به کاهش نویز گاووسی بپردازد اما باعث از دست رفتن اطلاعات جزئی لبه‌ها می‌شود. فیلتر میانه<sup>[۲۲]</sup> یکی از فیلترهای غیر خطی رایج است، این فیلتر در حالیکه به کاهش نویز می‌پردازد بیشتر مناسب نویز فلفل نمکی می‌باشد. ایده‌ی اصلی این فیلتر جایگذاری مقدار پیکسل جاری با مقادیر میانه‌ی درون یک همسایگی از پیکسل مذکور می‌باشد. این فیلتر در عمل پیچیده و هزینه بر است چون زمان زیادی برای محاسبه‌ی میانه در هر پنجره لازم است.

یکی از روش‌های کاهش نویز، روش‌های مبتنی بر تبدیلات است که می‌توان به روش<sup>[۲۳]</sup> BLS-GSM اشاره کرد که یک روش در حوزه‌ی موجک می‌باشد. ایده‌ی اصلی این روش بدین صورت است که هنگامی که تصاویر در فضای موجک به نمایش چند بعدی تجزیه می‌شوند، همسایگی هر ضریب موجک با استفاده از مخلوط مقیاس گاووسی (GSM<sup>۲</sup>) مدل سازی شده و ضرایب بدون نویز با بکارگیری حداقل مربعات بیز (BLS<sup>۳</sup>) برآورد می‌شوند. یکی دیگر از روش‌های مبتنی بر تبدیلات روش<sup>[۲۴]</sup> BM3D است که یک الگوریتم تطبیق بلوک سه بعدی برای کاهش نویز تصاویر می‌باشد. ایده‌ی این روش برای کاهش نویز بدین صورت است که پراکنده‌ی تصویری که دارای نمایش‌های پراکنده در حوزه‌ی تبدیل است، با گروه بندی وصله‌های دو بعدی مشابه به گروههای سه بعدی ارتقا یابد.

از دیگر روش‌های کاهش نویز روش‌های غیر محلی است که شدت تمام پیکسل‌ها را بر اساس اطلاعاتی از کل تصویر، تخمین می‌زنند و از این طریق از وجود الگوها و ویژگی‌های مشابه در یک تصویر بهره‌مند در این راستا می‌توان به روش<sup>[۲۵]</sup> NLM اشاره کرد. برخلاف فیلترهای محلی میانگین که با جایگذاری میانگین گروهی از پیکسل‌ها که در همسایگی پیکسل هدف قرار گرفته‌اند بجای پیکسل هدف، به صاف کردن تصویر می‌پردازند روش میانگین غیر محلی میانگین تمامی پیکسل‌هایی که با مقدار تشابه می‌کنند. این عمل باعث وضوح بیشتر تصویر و باعث از دست دادن کمتر جزئیات تصویر در مقایسه با روش‌های میانگین محلی می‌شود. ژو و همکاران<sup>[۲۶]</sup> یک الگوریتم فیلترسازی نقطه‌ای تکراری بر اساس مدل فیلتر غیر محلی میانگین بیزی برای تصاویر سونوگرافی ارائه دادند. آنها از ویژگی آماری نویز برای اعمال مدل میانگین غیر محلی بیزی جهت بازسازی تصویر و بدست آوردن تابع چگالی احتمال کلیدی و ارائه فیلتری تکراری

<sup>۱</sup>Bayesian least squares-Gaussian scale mixture

<sup>۲</sup>Gaussian scale mixture

<sup>۳</sup>Bayesian least squares

<sup>۴</sup>3D Block Matching

<sup>۵</sup>Non-Local Mean

یکی از مباحثی که می‌تواند مورد توجه پژوهشگران قرار گیرد استفاده از روش‌های تصمیم‌گیری چند معیاره در پردازش تصویر است. تصمیم‌گیری با لحاظ چندین معیار که هر یک از جایگاه ویژه‌ای بر خودارند تنها با به کار گیری مدل‌های تصمیم‌گیری چند معیاره‌امکان پذیر است. در این روش از شاخص‌های مختلفی متناسب با نوع رتبه بندی استفاده می‌شود. در تصمیم‌گیری چند معیاره، تصمیم‌گیرنده به جای استفاده از یک معیار سنجش بهینگی، با چندین معیار مواجه است هدف اصلی در مدل‌های چند معیاره انتخاب گزینه برتر می‌باشد. بسیاری از روش‌های تصمیم‌گیری چند معیاره (<sup>۱</sup>MCDM) در زمینه‌های متنوع مانند مهندسی، مدیریت، اقتصاد و غیره توسعه داده شده است و به کار می‌رود.

یکی از روش‌های کلاسیک تصمیم‌گیری چند معیاره روش تاپسیس (تکنیک رتبه بندی ترجیحات با تشابه به راه حل ایده‌آل) است که اولین بار توسط یون و هوانگ [۲۷] برای حل مسائل MCDM پیشنهاد شد که بر مبنای حالتی است که گزینه‌ی انتخابی باید دارای کوتاه ترین فاصله از ایده‌آل مثبت و دورترین فاصله از ایده‌آل منفی باشد. روش تاپسیس بعدها برای داده‌های فازی [۲۸، ۲۹]، داده‌های بازه‌ای [۳۰، ۳۱] و همچنین برای حل مسائل برنامه‌ریزی غیر خطی با تابع هدف چندگانه گسترش یافته است [۳۲]. اخیرا از روش تاپسیس در پردازش تصویر نیز استفاده شده است از جمله روش قطعه بندی زو و همکاران [۳۳]، آنها روش نوترزووفیک مبتنی بر روش تاپسیس ارائه دادند که از اطلاعات مجموعه نوترزووفیک برای جداسازی گرافیک استفاده می‌کند. در ابتدا تصویر ورودی به حوزه‌ی نوترفووفیزیک تبدیل شده سپس برای کاهش عدم قطعیت و تقویت لبه‌های تصویر از دو عمل  $\alpha$  میانگین اصلاح شده و ارتقای  $\beta$  استفاده کرده و در نهایت توسط روش تاپسیس و  $\gamma$  میانگین فازی اصلاح شده، به قطعه بندی تصویر پرداختند. مالکی و همکاران [۳۴] با بکارگیری الگوریتم تصمیم‌گیری چند معیاره روشی برای بازیابی بینایی تصویر بر اساس توصیف تصویر ارائه دادند که چندین معیار با وزان موثر متناسب را ترکیب کرده تا مناسب‌ترین توصیف برای تصویر جستجو بدلست آید. روش پیشنهادی آنها مکانیزمی برای بازیابی توصیفی که ارتباط معناداری با تصویر جستجو دارد، طراحی کرده، سپس به انتخاب مناسب‌ترین زیرنویس با تقلید عمل انسان که بر اساس تصمیم‌گیری چند معیاره وزن‌دار است می‌پرداzd.

با توجه به اینکه در اغلب روش‌های کاهش نویز تصویر فقط از یک معیار برای سنجش عملکرد روشن انتخابی در کاهش نویز تصویر استفاده می‌شود، بخصوص در فیلترهای مبتنی بر الگوریتم‌های فرا ابتکاری که اغلب یک معیار برای سنجش کیفیت تصویر خروجی در نظر گرفته می‌شود بنابراین در این مقاله سعی شده است روشی

سازی پارامترهای تابع کوشی تعییم یافته توسط الگوریتم تراکم ذرات [۱۵] و با انتخاب معیار<sup>۱</sup>MSE [۲۱] بعنوان تابع برازنده‌گی پرداخته و دریافتند که روش مذکور بطور عمده باعث حفظ لبه‌ها و جزئیات تصویر می‌شود. فو و همکاران [۲۲] روش جدیدی که شامل الگوریتم تراکم ذرات و فیلتر وینر است برای یافتن خودکار پارامتر مناسب برای فیلتر وینر توسط الگوریتم تراکم ذرات در تصویر برداری کشتی ارائه دادند. در روش آنها که یک الگوریتم جستجوی موازی بسیار مفید است، راه حل بهینه با انتقال اطلاعات بین اجزا و به اشتراک گذاری اطلاعات، با انتخاب دقیق پارامتر، بدست می‌آید و باعث کاهش تاثیرات حلقوی و بهبود کیفیت تصویر بازسازی شده می‌شود.

یانگ و همکاران [۲۳] چارچوب بالابر گاووسی برای فیلتر دوطرفه و غیر محلی ارائه دادند که به تشابه بین تبدیلات موجک تفکیک پذیر و اهرام گاووسی متصل می‌شود. اجرای دقیق این فیلتر نه تنها در کابردۀای پردازش تصویر بلکه برای تعدادی از مسائل معکوس منظم دوطرفه‌ی پیشنهادی اخیر نیز مهم است، که دقت جواب کاملاً به اجرای دقیق فیلتر بستگی دارد. آنها به بررسی طرح‌های بالابر گاووسی برای فیلتر دو طرفه و غیر محلی نیز پرداختند.

پن و همکاران [۲۴] مدلی برای انتخاب پارامتر تنظیم کننده برای مدل تغییرات کلی جهت کاهش نویز ارائه دادند. آنها در مرحله اول، الگوریتمی تکراری با استفاده از سازگاری بین مقدار شرایط برآش داده‌ای و کران بالایی، برای تخمین حد بالای بهینه ارائه دادند. ثانیاً، برای حل مسئله محدود، روشی مبتنی بر دوگان پیشنهاد دادند که از محاسبه ضرب لاگرانژ مربوط به آن محدودیت اجتناب می‌کند. الگوریتم پیشنهادی آنها به حل مسئله مقید پرداخته و همزمان پارامتر تنظیم کننده را تخمین می‌زنند.

گویال و همکاران [۲۵] مروری بر انواع روش‌های کاهش نویز داشتند. آنها سعی کردن ترتیب سلسله مراتبی از توسعه و ایجاد روش‌های مختلف کاهش نویز گاووسی از روش ابتدایی میانگین گیری پیکسل‌های همسایه به تکنیک‌های ترکیبی پیچیده تر داشته باشند. سامولی و همکاران [۲۶] روشی جدید برای آموزش مدل های کاهش نویز، بر اساس گروهی غیر سازمان یافته از تصاویر خراب توصیف کردند. این آموزش نیازی به دسترسی به تصاویر مرجع صاف یا جفت تصاویر صریح نویزدار ندارد و بنابراین در شرایطی که دستیابی به چنین داده‌هایی غیر ممکن و یا هزینه بر می‌باشد، قابل استفاده است. تکنیک پیشنهادی آنها نیاز به داده‌های مرجع را با استفاده از شبکه‌های دارای "نقشه‌ی کور" در عرصه‌ی پذیرایی رفع کرده و کیفیت تصویر و کارایی آموزش را بطور قابل توجهی بهبود می‌بخشد. روش آنها همچنین به کنترل حالت‌هایی که پارامترهای مدل نویز هم در آموزش و هم در داده‌های ارزیابی متغیر و یا نا مشخص است، می‌پرداzd.

که در آن MAX بیانگر ماکزیموم مقدار پیکسل‌های تصویر است و برابر ۲۵۵ در نظر گرفته شده است.

شاخص سنجش شباهت ساختاری (SSIM) معیاری برای محاسبه‌ی شباهت ساختاری بین دو تصویر است که میزان آن را از سه منظر: روشنایی، کنتراسیت، ساختار اندازه گیری می‌کند. بنابراین هر چه مقدار آن بیشتر باشد بیانگر شباهت زیاد بین دو تصویر است و بصورت زیر تعریف شده است [۱۶]:

$$SSIM = \frac{(2\mu_I\mu_{I_n} + c_1)(2\sigma_{I,I_n} + c_2)}{(\mu_I^2 + \mu_{I_n}^2 + c_1)(\sigma_I^2 + \sigma_{I_n}^2 + c_2)} \quad (۳)$$

که در آن  $I$  و  $I_n$  بترتیب بیانگر تصاویر اصلی و نویزدار بوده و  $\mu_I, \mu_{I_n}$  و  $\sigma_I^2, \sigma_{I,I_n}^2$  بترتیب بیانگر میانگین و انحراف معیار تصاویر نویزدار و اصلی بوده و  $\sigma_{I,I_n}$  کوواریانس بین تصویر اصلی و نویزدار است و  $c_1, c_2$  دو مقدار ثابت است که به صورت زیر تعریف شده است:

$$c_1 = (0.01 \times 255)^2, c_2 = (0.03 \times 255)^2 \quad (۴)$$

شاخص ارتقا (SDME) معیاری برای بهبود تصویر می‌باشد که از مفهوم مشتق مرتبه دوم بر گرفته شده است. این معیار عملکرد بهتری در مقایسه با سایر معیارها در ارزیابی کیفیت بینایی تصویر بعد از ارتقا(بهبود) دارد و بصورت زیر تعریف شده است [۳۵], [۳۶]:

$$SDME = -\frac{1}{b_1 b_2} \sum_{i=1}^{b_1} \sum_{j=1}^{b_2} 20 \ln \left| \frac{P_{max,j,i} - 2P_{cen,j,i} + P_{min,j,i}}{P_{max,j,i} + 2P_{cen,j,i} + P_{min,j,i}} \right| \quad (۵)$$

فرض کنید تصویر به بلوک‌های  $b_1 \times b_2$  تقسیم شده که  $P_{max}, P_{min}, P_{cen}$  بترتیب بیانگر مرکز، کمینه و بیشینه مقدار شدت پیکسل‌های هر بلوک می‌باشد.

انتروپی تصویر از یک دیدگاه می‌تواند بیانگر میزان بی نظمی در یک تصویر باشد هر چه میزان بی نظمی بیشتر باشد انتروپی افزایش می‌یابد و از دیدگاه دیگر می‌تواند برای ارزیابی محتوای یک تصویر بکار رود که مقدار بیشتر آن بیانگر این است که تصویر دارای جزئیات بیشتری است، انتروپی تصویر بر مبنای هیستوگرام به صورت زیر محاسبه می‌شود [۳۷]:

$$Entropy(I) = -\sum_{i=0}^{255} e_i \quad (۶)$$

$$e_i = \begin{cases} p_i \log_2 p_i & p_i \neq 0 \\ 0 & p_i = 0 \end{cases}$$

که در آن  $p_i$  احتمال وقوع  $i$ -امین شدت تصویر است.

تعداد پیکسل‌های لبه که توسط لبه یاب سوبل [۳۸] ارزیابی می‌شود. در واقع عملگر سوبل اندازه گرادیان فضایی دو بعدی ک تصویر را محاسبه می‌کند، بنابراین روی ناحیه‌هایی که دارای فرکانس بیشتری باشند اثر می‌گذارد که متناظر لبه‌های تصویر می‌باشد.

برای کاهش نویز تصویر انتخاب شود که همزمان دارای معیارهای اشاره شده، باشد. هدف اصلی انتخاب گزینه مناسبی (روش کاهش نویز مناسبی) برای کاهش نویز گاوی با درجه انحراف معیارهای مختلف با توجه به معیارهای مختلف می‌باشد. در واقع هدف پاسخگویی به این سوال است که با توجه به درجه انحراف معیار مختلف نویز گاوی از چه روشی استفاده شود که همزمان دارای معیارهای مدنظر باشد. برای این منظور معیارهایی از قبیل: نسبت سیگنال به نویز (PSNR)، شاخص سنجش شباهت (SSIM) [۱۶]، تعداد پیکسل‌های لبه، انتروپی تصویر و معیار سنجش ارتقا تصویر همانند مشتق مرتبه دوم (SDME)، [۳۵]  $\sigma_{I,I_n}$  را در نظر گرفته و گزینه‌هایی مانند: فیلتر میانگین، فیلتر میانگین غیر محلی (NLM)، فیلتر تطبیق بلوک سه بعدی (BM3D)، فیلتر حداقل مربعات بیزی-ترکیب مقیاس گاوی (BLS-GSM)، فیلتر دوطرفه مبتنی بر الگوریتم تراکم ذرات (BL-PSO)، فیلتر کوشی تعمیم یافته مبتنی بر الگوریتم تراکم ذرات (GC-PSO) را در نظر گرفته و با بکارگیری روش تاپسیس به رتبه بندی هر یک از این فیلترها پرداخته و فیلتر متناسب با آن درجه از انحراف معیار نویز گاوی بدست می‌آید. با توجه به اینکه به ازای هر سطح از انحراف معیار نویز برای تصاویر مختلف ممکن است رتبه بندی واحدی بدست نیاید از روش میانگین رتبه استفاده می‌شود. بخش‌های بعدی مقاله به صورت زیر خواهد بود: در بخش ۲ انواع معیارهای در نظر گرفته شده و روش تاپسیس توضیح داده می‌شود. در قسمت ۳ ایده‌ی اصلی خواهد آمد، در بخش ۴ نتایج روش پیشنهادی آمده است و در نهایت با بخش نتیجه گیری که در بخش ۵ آمده است خاتمه می‌یابد.

## ۲ پیش مقدمات

در ابتدا توضیح مختصری در رابطه با هر یک از معیارهای ارزیابی کیفیت تصویر داده می‌شود. خطای مجدد میانگین (MSE) که به معیارهای میانگین مجدد مقادیر بین پیکسل‌های تصویر واقعی (اصلی) و تصویر بدون نویز می‌پردازد، بصورت زیر تعریف شده است [۲۱]:

$$MSE = \frac{1}{M \times N} \sum_{i=1}^M \sum_{j=1}^N (I(x, y) - I_n(x, y))^2 \quad (۷)$$

که در آن  $I$  و  $I_n$  بترتیب بیانگر تصاویر اصلی و نویزدار بوده که دارای  $M$  سطر و  $N$  ستون می‌باشند.

نسبت سیگنال به نویز (PSNR). نسبت مانند میانگین به توان بر هم زنی نویزی است که بر نمایش تصویر اثر می‌گذارد. و به صورت زیر تعریف شده است [۲۱]:

$$PSNR = 10 \log_{10} \frac{\text{MAX}^2}{MSE} \quad (۸)$$

<sup>۱</sup>Peak signal to noise ratio

<sup>۲</sup>Second derivative like measurement

**گام ۴. محاسبه شاخص جدایی:** این شاخص بیانگر فاصله از بدترین و بهترین جواب هاست. فاصله هر یک از گزینه ها از ایده آل مثبت و منفی بترتیب بصورت زیر تعریف می شود [۳۰]

$$d_i^+ = \left( \sum_{j=1}^n (v_{ij} - v_j^+)^2 \right)^{\frac{1}{2}}, i = 1, 2, \dots, m \quad (10)$$

$$d_i^- = \left( \sum_{j=1}^n (v_{ij} - v_j^-)^2 \right)^{\frac{1}{2}}, i = 1, 2, \dots, m \quad (11)$$

**گام ۵. محاسبه نزدیکی نسبی به گزینه ایده آل:** نزدیکی نسبی به گزینه ایده آل از رابطه زیر محاسبه می گردد [۳۰]:

$$R_i = \frac{d_i^-}{d_i^- + d_i^+}, i = 1, 2, \dots, m \quad (12)$$

مقادیر  $R_i$  بین صفر و یک قابل تغییر است هرچه به یک نزدیکتر باشد اولویت گزینه ایده آل بالاتر خواهد بود. بنابراین ترتیب اولویت گزینه ها بر حسب مقادیر نزولی  $R_i$  قابل رتبه بندی می باشد.

## ۱-۲ روش تاپسیس

الگوریتم تاپسیس که توسط یون و هوانگ [۲۷] برای حل مسائل تصمیم گیری چند معیاره پیشنهاد شده است در زیر آمده است. برای جزئیات بیشتر به مرجع [۳۰] [رجوع شود. در این روش فرض بر این است که  $A_1, A_2, A_3, \dots, A_m$  گزینه های انتخابی و  $C_1, C_2, C_3, \dots, C_n$  معیارهای مد نظر باشد، در این صورت  $x_{ij}$  مقادیر معیارهای مربوط به هر یک از گزینه ها بوده که در جدول تصمیم زیر قرار گرفته است.

|          | $C_1$    | $C_2$    | ... | $C_n$    |
|----------|----------|----------|-----|----------|
| $A_1$    | $x_{11}$ | $x_{12}$ | ... | $x_{1n}$ |
| $A_2$    | $x_{21}$ | $x_{22}$ | ... | $x_{2n}$ |
| $\vdots$ | $\vdots$ | $\vdots$ | ... | $\vdots$ |
| $A_m$    | $x_{m1}$ | $x_{m2}$ | ... | $x_{mn}$ |

گام های روش تاپسیس با توجه به جدول تصمیم فوق به صورت زیر است.

**گام ۱. ایجاد ماتریس تصمیم نرمالیزه:** این فرایند نوسانات معیارهای گوناگون را از بین می برد و به اعداد ثابت تبدیل می کند. یکی از روش های نرمالیزه سازی عبارتند از [۳۰]:

$$n_{ij} = \frac{x_{ij}}{\sqrt{\sum_{i=1}^m x_{ij}^2}}, i = 1, 2, \dots, m, j = 1, 2, \dots, n \quad (7)$$

**گام ۲. ایجاد ماتریس تصمیم نرمالیزه وزندار:** در این گام تصمیم گیرنده بر حسب ارزش و اهمیتی که به هر معیار قائل است بردار وزنی  $(w_1, w_2, \dots, w_n) = (w_1, w_2, \dots, w_n)$  را نسبت می دهد. مولفه های ماتریس نرمالیزه موزون به فرم زیر محاسبه می شود [۳۰]:

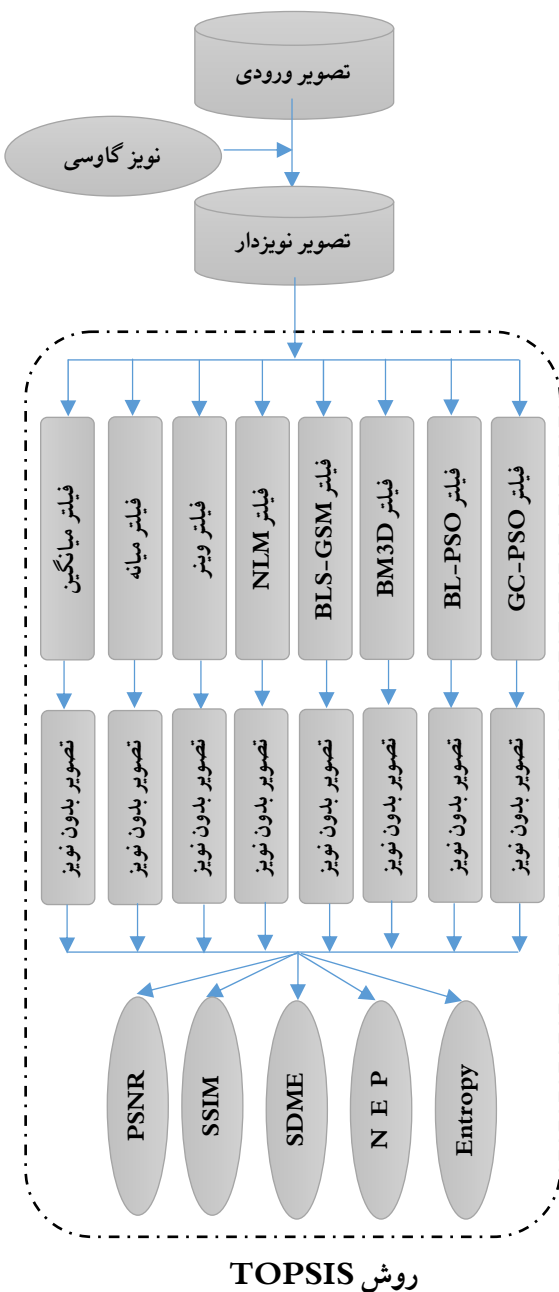
$$v_{ij} = w_i n_{ij}, i = 1, 2, \dots, m, j = 1, 2, \dots, n \quad (8)$$

**گام ۳. تعیین گزینه ایده آل مثبت و منفی:** این ایده آل ها به عنوان گزینه ای انتخاب می شوند که دارای بیشترین و کمترین مقادیر معیارها باشد. فرض کنید  $J$  مجموعه معیارهای مثبت (سود) و  $J'$  مجموعه معیارهای منفی (هزینه) باشد. گزینه ایده آل مثبت و منفی به ترتیب با  $A^+$  و  $A^-$  نمایش داده می شود که بصورت زیر تعریف می شود [۳۰]:

$$\begin{aligned} A^+ &= (v_1^+, v_2^+, \dots, v_n^+), A^- = (v_1^-, v_2^-, \dots, v_n^-) \\ v_j^+ &= \text{Max} \{v_{ij}\}, j \in J, i = 1, 2, \dots, m \\ v_j^- &= \text{Min} \{v_{ij}\}, j \in J', i = 1, 2, \dots, m \\ v_j^- &= \text{Min} \{v_{ij}\}, j \in J, i = 1, 2, \dots, m \\ v_j^+ &= \text{Max} \{v_{ij}\}, j \in J', i = 1, 2, \dots, m \end{aligned} \quad (9)$$

## ۳ روش پیشنهادی

با توجه به اینکه در بیشتر فیلترهای کاهش نویز فقط یک معیار برای ارزیابی کیفیت تصویر خروجی استفاده می شود، علی الخصوص فیلترهای کاهش نویز مبتنی بر الگوریتم های فرا ابتکاری که اغلب یک معیار بعنوان تابع برآزنده ای جهت ارزیابی کیفیت تصویر حاصل در هر تکرار در نظر گرفته می شود لذا در روش پیشنهادی هدف اصلی رتبه بندی فیلترهای کاهش نویز گاوی مطابق معیارهای مد نظر می باشد که پس از رتبه بندی فیلترها می توان فیلتر کارا جهت کاهش نویز را انتخاب کرد. در ابتدا تصویر سطح خاکستری ورودی که توسط نویز گاوی با انحراف معیارهای  $\sigma = 20, 30, 50$  آلوده شده است را در نظر گرفته سپس با فیلترهای مختلف کاهش نویز که عبارتند از: فیلتر



شكل ۱ دیاگرام روش پیشنهادی

میانگین، میانه، وینر، بلوك تطبیقی سه بعدی (BM3D)، حداقل مربعات بیزی-ترکیب مقیاس گاوی (BLS-GSM)، میانگین غیر محلی (NLM)، فیلتر دو طرفه مبتنی بر الگوریتم تراکم ذرات (BL-PSO)، فیلتر کوشی تعمیم یافته مبتنی بر الگوریتم تراکم ذرات (GC-PSO) به رفع نویز به ازای هر درجه از انحراف معیار نویز پرداخته می‌شود، این فیلترها در واقع بعنوان گزینه‌های الگوریتم تاپسیس در نظر گرفته می‌شوند. معیارهای مختلف ارزیابی کیفیت تصویر از قبیل: نسبت سیگنال به نویز (PSNR)، شاخص سنجش شباهت (SSIM)، معیار سنجش ارتقا تصویر همانند مشتق مرتبه دوم (SDME)، انتروپی تصویر (Entropy) و تعداد پیکسل‌های لبه (N\_E\_P) به ازای هر تصویر خروجی از فیلتر محاسبه می‌شود. در نهایت الگوریتم نویز و رتبه‌بندی گزینه‌ها اعمال می‌شود. دو فرضیه برای وزن معیارها در نظر گرفته شده است، یکی زمانی که معیارها دارای وزن یکسانی باشند و دیگری زمانی که ارزش و اهمیت دو برابر به معیارهای انتروپی، معیار سنجش ارتقا تصویر همانند مشتق مرتبه دوم و تعداد پیکسل‌های لبه داده و سایر معیارها دارای ارزش یکسانی باشند. دیاگرام روش پیشنهادی در شکل ۱ آمده است.

#### ۴ نتایج محاسباتی

برای توضیح روش پیشنهادی تصاویر خاکستریا ابعاد مختلف از جمله تصویر لنا با ابعاد  $(512 \times 512)$ ، تصویر فیلمبردار با ابعاد  $(256 \times 256)$ ، تصویر فلفل با ابعاد  $(256 \times 256)$  و تصویر خانه با ابعاد  $(256 \times 256)$  را بعنوان تصاویر ورودی در نظر گرفته و نویز گاوی را با انحراف معیارهای  $\sigma = 20, 30, 50$  روی تصویر ورودی اعمال می‌کنیم. حال فیلترهای مختلف کاهش نویز گاوی که بعنوان گزینه‌های الگوریتم تاپسیس در نظر گرفته شده‌اند روی تصاویر نویزدار اعمال کرده و معیارهای نسبت سیگنال به نویز (PSNR)، شاخص سنجش شباهت ساختاری (SSIM)، معیار سنجش ارتقا تصویر همانند مشتق مرتبه دوم (SDME)، انتروپی تصویر (Entropy) و تعداد پیکسل‌های لبه (N\_E\_P) به ازای هر درجه از نویز گاوی برای تصاویر خروجی (تصویر بدون نویز) محاسبه کرده که نتایج در جداول ۱ تا ۴ لیست شده است. برای نمونه نتایج اعمال هر یک از فیلترهای کاهش نویز روی تصاویر با انحراف معیار نویز ۲۰ در شکل ۲ آمده است. تمامی محاسبات روی تصاویر با نرم افزار متلب ۲۰۱۴b انجام شده و سپس الگوریتم تاپسیس در نرم افزار C++ جرا شده است.

**جدول ۲ روش پیشنهادی برای تصویر فیلمبردار به ازای فیلترهای کاهش نویز**

| Cameraman     | PSNR          | SSIM   | SDME    | N<br>E<br>P | Entropy |
|---------------|---------------|--------|---------|-------------|---------|
| $\sigma = 20$ |               |        |         |             |         |
| Average       | 24.2774       | 0.9672 | 75.6481 | 2401        | 7.2547  |
| Median        | 25.0871       | 0.9738 | 69.2485 | 2018        | 7.3025  |
| Wiener        | 27.714        | 0.9855 | 74.3979 | 2309        | 7.2300  |
| NLM           | 28.7056       | 0.9886 | 76.6518 | 2403        | 7.1275  |
| BLS-GSM       | 29.6744       | 0.9908 | 75.6835 | 2480        | 6.987   |
| BM3D          | 30.4763       | 0.9925 | 74.3663 | 2445        | 7.007   |
| BL-PSO        | 28.0506       | 0.9867 | 73.5413 | 2264        | 7.2386  |
| GC-PSO        | 26.2567       | 0.9796 | 68.2144 | 2277        | 7.3418  |
| Cameraman     | $\sigma = 30$ |        |         |             |         |
| Average       | 23.3561       | 0.959  | 72.7747 | 2305        | 7.3491  |
| Median        | 23.4763       | 0.9621 | 64.368  | 1975        | 7.3782  |
| Wiener        | 24.9812       | 0.9726 | 70.8052 | 2262        | 7.3481  |
| NLM           | 26.3055       | 0.9798 | 73.9009 | 2399        | 7.2406  |
| BLS-GSM       | 27.2307       | 0.9835 | 77.9871 | 2387        | 6.9662  |
| BM3D          | 28.6329       | 0.9885 | 76.6215 | 2405        | 7.0314  |
| BL-PSO        | 25.3367       | 0.9747 | 71.2895 | 2148        | 7.3418  |
| GC-PSO        | 24.2463       | 0.9670 | 70.0362 | 2171        | 7.3959  |
| Cameraman     | $\sigma = 50$ |        |         |             |         |
| Average       | 21.3245       | 0.9328 | 68.1246 | 1940        | 7.4786  |
| Median        | 20.6345       | 0.9282 | 57.7467 | 1909        | 7.4868  |
| Wiener        | 21.08         | 0.9314 | 64.6469 | 2185        | 7.5247  |
| NLM           | 22.683        | 0.952  | 69.4296 | 2537        | 7.4026  |
| BLS-GSM       | 23.1797       | 0.9546 | 79.1201 | 1983        | 6.8995  |
| BM3D          | 26.1188       | 0.9791 | 78.56   | 2231        | 7.0324  |
| BL-PSO        | 21.9208       | 0.9427 | 68.397  | 1928        | 7.4824  |
| GC-PSO        | 21.5608       | 0.9368 | 68.9323 | 1906        | 7.4951  |

**جدول ۱ روش پیشنهادی برای تصویر لنا به ازای فیلترهای کاهش نویز**

| Lena          | PSNR          | SSIM   | SDME    | N<br>E<br>P | Entropy |
|---------------|---------------|--------|---------|-------------|---------|
| $\sigma = 20$ |               |        |         |             |         |
| Average       | 28.8218       | 0.9815 | 81.9131 | 6867        | 7.4969  |
| Median        | 28.3818       | 0.9798 | 76.5514 | 6312        | 7.5267  |
| Wiener        | 29.0285       | 0.9826 | 80.0091 | 6719        | 7.5150  |
| NLM           | 32.1904       | 0.9915 | 87.0886 | 7208        | 7.4555  |
| BLS-GSM       | 32.2741       | 0.9916 | 82.3518 | 7499        | 7.4163  |
| BM3D          | 43.039        | 0.9930 | 83.0932 | 7300        | 7.4235  |
| BL-PSO        | 29.877        | 0.9855 | 82.7167 | 6128        | 7.4989  |
| GC-PSO        | 29.1488       | 0.9829 | 82.5031 | 6661        | 7.5041  |
| Lena          | $\sigma = 30$ |        |         |             |         |
| Average       | 26.7168       | 0.9702 | 77.6708 | 6266        | 7.5317  |
| Median        | 25.5545       | 0.9619 | 71.0946 | 6097        | 7.589   |
| Wiener        | 52.8483       | 0.9642 | 74.5350 | 6587        | 7.5565  |
| NLM           | 29.8714       | 0.9854 | 85.3831 | 7161        | 7.4804  |
| BLS-GSM       | 30.4906       | 0.9872 | 83.6661 | 6829        | 7.3941  |
| BM3D          | 31.2552       | 0.9895 | 84.8962 | 6822        | 7.4287  |
| BL-PSO        | 27.2275       | 0.9735 | 78.6418 | 5607        | 7.5320  |
| GC-PSO        | 26.8150       | 0.9709 | 78.7206 | 6097        | 7.5345  |
| Lena          | $\sigma = 50$ |        |         |             |         |
| Average       | 23.4104       | 0.936  | 71.193  | 5293        | 7.5569  |
| Median        | 21.5891       | 0.91   | 62.8392 | 6030        | 7.6918  |
| Wiener        | 21.8831       | 0.912  | 67.3007 | 7005        | 7.5915  |
| NLM           | 26.6056       | 0.9681 | 82.6142 | 7344        | 7.4675  |
| BLS-GSM       | 27.5514       | 0.9733 | 82.2223 | 5244        | 7.2946  |
| BM3D          | 29.0463       | 0.9824 | 86.0846 | 5698        | 7.425   |
| BL-PSO        | 23.6037       | 0.9388 | 71.9396 | 5015        | 7.5573  |
| GC-PSO        | 23.4298       | 0.9363 | 71.9882 | 5213        | 7.5578  |

جدول ۴ روش پیشنهادی برای تصویر خانه به ازای فیلترهای کاهش نویز

| House         | PSNR          | SSIM   | SDME    | N_E_P | Entropy |
|---------------|---------------|--------|---------|-------|---------|
| $\sigma = 20$ |               |        |         |       |         |
| Average       | 27.1189       | 0.9703 | 84.1358 | 2285  | 7.0587  |
| Median        | 27.8922       | 0.9754 | 79.1326 | 1882  | 7.1777  |
| Wiener        | 28.8295       | 0.9801 | 83.3088 | 1906  | 7.1006  |
| NLM           | 31.9659       | 0.9903 | 87.5775 | 2226  | 6.7209  |
| BLS-GSM       | 32.572        | 0.9915 | 84.4198 | 2180  | 6.3856  |
| BM3D          | 33.7647       | 0.9936 | 85.6437 | 2341  | 6.3054  |
| BL-PSO        | 29.4486       | 0.9826 | 84.7429 | 1855  | 7.0764  |
| GC-PSO        | 28.0306       | 0.976  | 82.2102 | 2028  | 7.1590  |
| House         | $\sigma = 30$ |        |         |       |         |
| Average       | 25.5539       | 0.9577 | 79.4694 | 2126  | 7.2553  |
| Median        | 25.1554       | 0.9546 | 73.609  | 1751  | 7.3819  |
| Wiener        | 25.7193       | 0.9599 | 77.659  | 1863  | 7.3249  |
| NLM           | 29.2644       | 0.9819 | 85.4877 | 2202  | 6.9548  |
| BLS-GSM       | 30.7394       | 0.9869 | 85.7647 | 2036  | 6.4815  |
| BM3D          | 32.0772       | 0.9905 | 85.5274 | 2304  | 6.407   |
| BL-PSO        | 26.8491       | 0.9686 | 81.0388 | 1713  | 7.2619  |
| GC-PSO        | 25.8908       | 0.961  | 80.1    | 1943  | 7.2949  |
| House         | $\sigma = 50$ |        |         |       |         |
| Average       | 22.7815       | 0.9204 | 73.4234 | 1712  | 7.4388  |
| Median        | 21.2834       | 0.8958 | 65.5822 | 1640  | 7.6066  |
| Wiener        | 21.7966       | 0.9034 | 70.1255 | 1841  | 7.4982  |
| NLM           | 25.7219       | 0.958  | 82.5527 | 1974  | 7.1955  |
| BLS-GSM       | 27.6186       | 0.9717 | 84.6904 | 1727  | 6.4526  |
| BM3D          | 29.6884       | 0.9834 | 85.7751 | 1983  | 6.5320  |
| BL-PSO        | 23.3365       | 0.93   | 74.5749 | 1410  | 7.4462  |
| GC-PSO        | 22.8597       | 0.9219 | 74.5607 | 1545  | 7.4460  |

جدول ۳ روش پیشنهادی برای تصویر فلفل به ازای فیلترهای کاهش نویز

| Peppers       | PSNR          | SSIM   | SDME    | N_E_P | Entropy |
|---------------|---------------|--------|---------|-------|---------|
| $\sigma = 20$ |               |        |         |       |         |
| Average       | 25.7355       | 0.9682 | 79.8153 | 2306  | 7.5678  |
| Median        | 27.2629       | 0.9784 | 73.0834 | 2046  | 7.6022  |
| Wiener        | 28.6288       | 0.9841 | 77.2457 | 2114  | 7.5944  |
| NLM           | 30.051        | 0.9886 | 79.8375 | 2229  | 7.5721  |
| BLS-GSM       | 30.6127       | 0.9899 | 79.321  | 2360  | 7.5316  |
| BM3D          | 31.2795       | 0.9914 | 79.9385 | 2221  | 7.5461  |
| BL-PSO        | 28.8003       | 0.9847 | 77.7343 | 2023  | 7.5919  |
| GC-PSO        | 27.1009       | 0.9772 | 75.0586 | 2196  | 7.5976  |
| Peppers       | $\sigma = 30$ |        |         |       |         |
| Average       | 24.5598       | 0.9584 | 76.2306 | 2198  | 7.5928  |
| Median        | 24.8198       | 0.9625 | 68.5235 | 1974  | 7.6474  |
| Wiener        | 25.5999       | 0.9682 | 73.3007 | 2010  | 7.6303  |
| NLM           | 27.1957       | 0.9779 | 75.9394 | 2141  | 7.6103  |
| BLS-GSM       | 28.4403       | 0.9830 | 81.5750 | 2291  | 7.5043  |
| BM3D          | 29.2754       | 0.9864 | 80.7792 | 2121  | 7.5503  |
| BL-PSO        | 25.9396       | 0.9703 | 74.9145 | 1934  | 7.6139  |
| GC-PSO        | 25.1304       | 0.9639 | 75.6446 | 2037  | 7.6610  |
| Peppers       | $\sigma = 50$ |        |         |       |         |
| Average       | 22.2378       | 0.9282 | 70.3845 | 1866  | 7.6091  |
| Median        | 21.2186       | 0.9173 | 61.2469 | 1805  | 7.7188  |
| Wiener        | 21.6552       | 0.9211 | 66.5654 | 1904  | 7.6551  |
| NLM           | 23.2010       | 0.9433 | 70.221  | 2044  | 7.6354  |
| BLS-GSM       | 24.6183       | 0.9557 | 82.2556 | 2092  | 7.3777  |
| BM3D          | 26.6806       | 0.9749 | 82.8643 | 1859  | 7.5481  |
| BL-PSO        | 22.4316       | 0.9323 | 70.6059 | 1768  | 7.6246  |
| GC-PSO        | 22.3859       | 0.931  | 71.9129 | 1770  | 7.6176  |

جدول ۷ ماتریس تصمیم گیری نرمالیزه وزن دار با فرضیه دوم

| $\sigma = 20$ | PSNR   | SSIM   | SDME   | N      | E      | P | Entropy |
|---------------|--------|--------|--------|--------|--------|---|---------|
| Average       | 0.0419 | 0.0440 | 0.0882 | 0.0886 | 0.0886 |   |         |
| Median        | 0.0413 | 0.0439 | 0.0824 | 0.0814 | 0.0889 |   |         |
| Wiener        | 0.0422 | 0.0440 | 0.0862 | 0.0867 | 0.0888 |   |         |
| NLM           | 0.0468 | 0.0444 | 0.0938 | 0.0930 | 0.0881 |   |         |
| BLS-GSM       | 0.0469 | 0.0444 | 0.0887 | 0.0967 | 0.0876 |   |         |
| BM3D          | 0.0480 | 0.0445 | 0.0895 | 0.0942 | 0.0877 |   |         |
| BL-PSO        | 0.0434 | 0.0442 | 0.0891 | 0.0791 | 0.0886 |   |         |
| GC-PSO        | 0.0424 | 0.0441 | 0.0888 | 0.0859 | 0.0887 |   |         |

توجه شود از بین ۵ معیار مدنظر ۴ معیار PSNR، SSIM، SDME، N، E، P،  $J = \{1, 2, 3, 4\}$  چراکه هر چه مقادیر این معیارها در تصویر خروجی (بدون نویز) بیشتر باشد بیانگر این است که فیلتر مورد نظر بهتر عمل کرده است و معیار Entropy بعنوان معیارهای منفی در نظر گرفته شده است یعنی هر چه مقادیر آنها کمتر باشد بیانگر کارایی فیلتر مورد نظر است  $J' = \{5\}$ . در اینجا مقدار کمتر انتروپی بیانگر بی نظمی کمتر تصویر است لذا بعنوان معیار منفی در نظر گرفته شده است.

با اعمال گام سوم الگوریتم تاپسیس برای جدول ۶ راه حل های ایدهآل مثبت و منفی به ترتیب به صورت زیر خواهد بود:

$$A^+ = (v_1^+, v_2^+, v_3^+, v_4^+, v_5^+) = (0.0769, 0.0712, 0.075, 0.0774, 0.0701)$$

$$A^- = (v_1^-, v_2^-, v_3^-, v_4^-, v_5^-) = (0.066, 0.0703, 0.066, 0.0632, 0.0712)$$

با اجرای گام ۴ برای جدول ۶ شاخص های جدایی بصورت زیر خواهد بود:

$$(s_1^+, s_2^+, s_3^+, s_4^+, s_5^+, s_6^+, s_7^+, s_8^+) = (0.0126, 0.0188, 0.0138, 0.0036, 0.0045, 0.004, 0.0164, 0.0132)$$

$$(s_1^-, s_2^-, s_3^-, s_4^-, s_5^-, s_6^-, s_7^-, s_8^-) = (0.009, 0.0019, 0.007, 0.0169, 0.0176, 0.0172, 0.0064, 0.0077)$$

نهایتاً با اجرای گام ۵ برای جدول ۶ داریم

$$(R_1, R_2, R_3, R_4, R_5, R_6, R_7, R_8) = (0.4152, 0.0919, 0.3351, 0.324, 0.7979, 0.8114, 0.2795, 0.37)$$

با توجه به مقادیر بالا رتبه بندی فیلترها به فرم ستون دوم جدول ۸ خواهد بود.

با در نظر گرفتن فرضیه دوم که ماتریس نرمالیزه وزن دار آن در جدول ۷ آمده است ادامه ای الگوریتم تاپسیس به فرم زیر خواهد بود.

جدال فوق در واقع عنوان جدول تصمیم گیری روش تاپسیس در نظر گرفته شده و الگوریتم تاپسیس به ازای هر درجه از نویز گاوی و برای هر تصویر اجرا می شود. برای صرفه جویی در نمایش محاسبات الگوریتم تاپسیس را به ازای  $\sigma = 20$  برای تصویر لنا در جدول ۱ اعمال کرده و سایر جداول نیز به طریق مشابه محاسبه می شوند. ابتدا گام ۱ الگوریتم تاپسیس به ازای  $\sigma = 20$  در جدول ۱ اعمال شده یعنی به نرمالیزه سازی جدول تصمیم پرداخته که نتایج نرمالیزه سازی در جدول ۵ نمایش داده شده است.

جدول ۵ ماتریس تصمیم گیری نرمالیزه

| $\sigma = 20$ | PSNR   | SSIM   | SDME   | N      | E      | P | Entropy |
|---------------|--------|--------|--------|--------|--------|---|---------|
| Average       | 0.3353 | 0.3519 | 0.3529 | 0.3544 | 0.3544 |   |         |
| Median        | 0.3301 | 0.3513 | 0.3298 | 0.3257 | 0.3558 |   |         |
| Wiener        | 0.3377 | 0.3523 | 0.3447 | 0.3467 | 0.3552 |   |         |
| NLM           | 0.3744 | 0.3555 | 0.3751 | 0.372  | 0.3524 |   |         |
| BLS-GSM       | 0.3754 | 0.3555 | 0.3547 | 0.387  | 0.3506 |   |         |
| BM3D          | 0.3843 | 0.3560 | 0.3579 | 0.3767 | 0.3509 |   |         |
| BL-PSO        | 0.3475 | 0.3534 | 0.3563 | 0.3162 | 0.3545 |   |         |
| GC-PSO        | 0.3391 | 0.3524 | 0.3554 | 0.3437 | 0.3547 |   |         |

در گام دوم الگوریتم تاپسیس تصمیم گیرنده برای انتخاب وزن ها دو فرضیه مدنظر می گیرد. در فرضیه اول فرض بر این است که هر یک از معیارها دارای ارزش و اهمیت یکسانی باشد که در این

$$w_i = \frac{1}{5}, i = 1, 2, \dots, 5$$

صورت وزن متناظر هر یک از معیارها ارزش دو خواهد بود. در فرضیه دوم تصمیم گیرنده اهمیت و ارزش دو برابر به معیارهای انتروپی، معیار سنجش ارتفاع تصویر همانند مشتق مرتبه دوم و تعداد پیکسل های لبه داده و ارزش های یکسان به سایر معیارها اختصاص می دهد، در این صورت وزن معیارها

$$w_i = \frac{2}{8}, i = 3, 4, 5, w_i = \frac{1}{8}, i = 1, 2$$

با اعمال گام دوم الگوریتم تاپسیس ماتریس تصمیم گیری نرمالیزه ۷ وزن دار با فرضیه های اول و دوم به ترتیب به فرم جدول ۶ و ۷ خواهد بود.

جدول ۶ ماتریس تصمیم گیری نرمالیزه وزن دار با فرضیه اول

| $\sigma = 20$ | PSNR   | SSIM   | SDME   | N      | E      | P | Entropy |
|---------------|--------|--------|--------|--------|--------|---|---------|
| Average       | 0.0671 | 0.0704 | 0.0706 | 0.0709 | 0.0709 |   |         |
| Median        | 0.066  | 0.0703 | 0.066  | 0.0651 | 0.0712 |   |         |
| Wiener        | 0.0675 | 0.0705 | 0.0689 | 0.0693 | 0.071  |   |         |
| NLM           | 0.0749 | 0.0711 | 0.075  | 0.0744 | 0.0705 |   |         |
| BLS-GSM       | 0.0751 | 0.0711 | 0.0709 | 0.0774 | 0.0701 |   |         |
| BM3D          | 0.0769 | 0.0712 | 0.0716 | 0.0753 | 0.0702 |   |         |
| BL-PSO        | 0.0695 | 0.0707 | 0.0713 | 0.0632 | 0.0709 |   |         |
| GC-PSO        | 0.0678 | 0.0705 | 0.0711 | 0.0687 | 0.0709 |   |         |

همانطور که در جدول ۸ مشخص است فیلتر تطبیق بلوک سه بعدی، فیلتر حداقل مربعات بیزی-ترکیب مقیاس گاووسی و فیلتر میانگین غیر محلی در تمامی تصاویر و به ازای سطوح مختلف از انحراف معیار نویز گاووسی با فرضیه اول دارای رتبه‌های اول تا سوم می‌باشند و پس از آن‌ها در اغلب تصاویر به ازای نویزهای با انحراف معیارهای مختلف فیلتروینر دارای بیشترین رتبه می‌باشد. بوضوح فیلتر میانه به ازای هر سطح از انحراف معیار نویز گاووسی دارای آخرین رتبه بوده یعنی عملاً برای رفع نویز گاووسی با چنین معیارهایی ناکارامد می‌باشد. با توجه به اینکه به ازای سطوح مختلف از انحراف معیار نویز در تصاویر متفاوت، رتبه فیلترها متفاوت می‌باشد لذا برای دستیابی به یک رتبه بندی یکه از روش میانگین رتبه برای تصاویر مختلف به ازای هر درجه از انحراف معیار نویز گاووسی استفاده می‌شود که نتایج در جدول ۹ آمده است.

جدول ۹ روش میانگین رتبه برای تصاویر با فرضیه اول

| Rank    | $\sigma = 20$ | $\sigma = 30$ | $\sigma = 50$ |
|---------|---------------|---------------|---------------|
| Average | 3             | 3             | 5             |
| Median  | 7             | 7             | 7             |
| Wiener  | 4             | 4             | 3             |
| NLM     | 2             | 2             | 2             |
| BLS-GSM | 1             | 2             | 2             |
| BM3D    | 1             | 1             | 1             |
| BL-PSO  | 5             | 6             | 6             |
| GC-PSO  | 6             | 5             | 4             |

همانطور که جدول ۹ روشن است، با اعمال فرضیه اول به ازای  $\sigma = 20$  فیلتر تطبیق بلوک سه بعدی و فیلتر حداقل مربعات بیزی-ترکیب مقیاس گاووسی دارای رتبه اول بوده و فیلترهای میانگین غیر محلی، فیلتر میانگین، فیلتر وینر، فیلتر دوطرفه مبتنی بر تراکم ذرات، فیلتر کوشی مبتنی بر الگوریتم تراکم ذرات و فیلتر میانه به ترتیب در رتبه‌های دوم تا هفتم قرار می‌گیرند. به ازای  $\sigma = 30$  و  $\sigma = 50$  فیلتر تطبیق بلوک سه بعدی دارای رتبه ای او و فیلترهای حداقل مربعات بیزی-ترکیب مقیاس گاووسی و فیلتر میانگین غیر محلی دارای رتبه دوم می‌باشند. به ازای  $\sigma = 30$  فیلترهای میانگین، وینر، فیلتر کوشی مبتنی بر الگوریتم تراکم ذرات، فیلتر دوطرفه مبتنی بر تراکم ذرات و فیلتر میانه به ترتیب در رتبه‌های سوم تا چهارم قرار می‌گیرند. به ازای  $\sigma = 50$  فیلترهای وینر، فیلتر کوشی مبتنی بر الگوریتم تراکم ذرات، فیلتر میانگین، فیلتر دوطرفه مبتنی بر تراکم ذرات و فیلتر میانه به ترتیب در رتبه‌های سوم تا هفتم قرار می‌گیرند. برای تعیین رتبه واحد به ازای تمامی تصاویر و درجه ای انحراف معیار نویز گاووسی روش میانگین رتبه را برای کل جدول ۸ به اجرا گذاشت و نتایج در ستون دوم جدول ۱۲ قرار می‌گیرد.

نتایج گام ۳ بترتیب عبارتست:

$$A^+ = (v_1^+, v_2^+, v_3^+, v_4^+, v_5^+) =$$

$$(0.048, 0.0445, 0.0938, 0.0967, 0.0876)$$

$$A^- = (v_1^-, v_2^-, v_3^-, v_4^-, v_5^-) =$$

$$(0.0413, 0.0439, 0.0824, 0.0791, 0.0889)$$

با اجرای گام ۴ داریم:

$$(s_1^+, s_2^+, s_3^+, s_4^+, s_5^+, s_6^+, s_7^+, s_8^+) =$$

$$(0.0117, 0.0203, 0.014, 0.004, 0.0052, 0.005, 0.0189, 0.0132)$$

$$(s_1^-, s_2^-, s_3^-, s_4^-, s_5^-, s_6^-, s_7^-, s_8^-) =$$

$$(0.0112, 0.0024, 0.0085, 0.0188, 0.0196, 0.0196, 0.0181, 0.007, 0.0095)$$

با اجرای گام آخر داریم:

$$(R_1, R_2, R_3, R_4, R_5, R_6, R_7, R_8) =$$

$$(0.4889, 0.1048, 0.3795, 0.8255, 0.79, 0.7827, 0.2702, 0.4175)$$

با توجه به مقادیر بدست آمده رتبه بندی فیلترها به فرم ستون دوم

جدول ۹ خواهد بود. نتایج به ازای تصاویر و درجه ای انحراف

معیارهای مختلف، با دو فرضیه اشاره شده به ترتیب در جداول

۸ و ۹ قابل محاسبه می‌باشد.

جدول ۸ روش پیشنهادی با فرضیه اول

| Rank    | $\sigma = 20$ |           |         |       |
|---------|---------------|-----------|---------|-------|
|         | Lena          | Cameraman | Peppers | House |
| Average | 4             | 6         | 5       | 4     |
| Median  | 8             | 8         | 8       | 8     |
| Wiener  | 6             | 4         | 4       | 7     |
| NLM     | 1             | 3         | 3       | 3     |
| BLS-GSM | 3             | 1         | 1       | 2     |
| BM3D    | 2             | 2         | 2       | 1     |
| BL-PSO  | 7             | 5         | 6       | 5     |
| GC-PSO  | 5             | 7         | 7       | 6     |
|         | $\sigma = 30$ |           |         |       |
|         | Average       | 5         | 5       | 4     |
| Average | 5             | 5         | 4       | 4     |
| Median  | 8             | 8         | 8       | 8     |
| Wiener  | 4             | 4         | 7       | 7     |
| NLM     | 1             | 3         | 3       | 2     |
| BLS-GSM | 3             | 2         | 1       | 3     |
| BM3D    | 2             | 1         | 2       | 1     |
| BL-PSO  | 7             | 6         | 6       | 6     |
| GC-PSO  | 6             | 7         | 5       | 5     |
|         | $\sigma = 50$ |           |         |       |
|         | Average       | 7         | 7       | 5     |
| Average | 7             | 7         | 5       | 5     |
| Median  | 5             | 8         | 8       | 8     |
| Wiener  | 4             | 4         | 7       | 4     |
| NLM     | 1             | 2         | 3       | 3     |
| BLS-GSM | 3             | 3         | 1       | 2     |
| BM3D    | 2             | 1         | 2       | 1     |
| BL-PSO  | 8             | 5         | 6       | 7     |
| GC-PSO  | 6             | 6         | 4       | 6     |

میانه دارای رتبه‌ی آخر می‌باشد. فیلتر تطبیق بلوک سه بعدی به ازای انحراف معیار نویز ۳۰ و ۵۰ دارای رتبه‌ی اول بوده، به ازای انحراف معیار نویز ۳۰ فیلترهای حداقل مربعات بیزی-ترکیب مقیاس گاووسی، فیلتر میانگین غیر محلی دارای رتبه‌ی دوم در ارزیابی توسط روش میانگین رتبه داشته و پس از آن به ترتیب فیلترهای میانگین، وینر، فیلتر کوشی مبتنی بر الگوریتم تراکم ذرات، فیلتر دوطرفه مبتنی بر تراکم ذرات در رتبه‌های سوم تا ششم قرار گرفته و فیلتر میانه دارای آخرین رتبه می‌باشد. به ازای انحراف معیار نویز ۵۰ فیلترهای میانگین غیر محلی، فیلتر حداقل مربعات بیزی-ترکیب مقیاس گاووسی، فیلتر وینر، فیلتر کوشی مبتنی بر الگوریتم تراکم ذرات، فیلتر میانگین بترتیب در رتبه‌های دوم تا ششم قرار گرفته و فیلترهای میانه و دوطرفه مبتنی بر تراکم ذرات دارای رتبه‌ی آخر خواهند بود. برای تعیین رتبه‌ی واحد به ازای تمامی تصاویر و درجه‌ی انحراف معیار نویز گاووسی روش میانگین رتبه را برای کل جدول ۹ به اجرا گذاشته و نتایج در ستون سوم جدول ۱۲ قرار می‌گیرد.

جدول ۱۱ روش میانگین رتبه برای تصاویر با فرضیه دوم

| Rank    | $\sigma = 20$ | $\sigma = 30$ | $\sigma = 50$ |
|---------|---------------|---------------|---------------|
| Average | 4             | 3             | 6             |
| Median  | 8             | 7             | 7             |
| Wiener  | 6             | 4             | 4             |
| NLM     | 3             | 2             | 2             |
| BLS-GSM | 1             | 2             | 3             |
| BM3D    | 2             | 1             | 1             |
| BL-PSO  | 7             | 6             | 7             |
| GC-PSO  | 5             | 5             | 5             |

جدول ۱۲ روش میانگین رتبه

| Rank    | Proposed 1 | Proposed 2 |
|---------|------------|------------|
| Average | 4          | 4          |
| Median  | 8          | 8          |
| Wiener  | 5          | 5          |
| NLM     | 3          | 2          |
| BLS-GSM | 2          | 3          |
| BM3D    | 1          | 1          |
| BL-PSO  | 7          | 7          |
| GC-PSO  | 6          | 6          |

با اجرای روش میانگین رتبه برای جداول ۸ و ۹ جهت دستیابی به رتبه‌ی واحد ستون‌های دوم و سوم جدول ۱۲ بدهست می‌آید. همانطور که روشن است با در نظر گرفتن فرضیه‌ی اول جهت اجرای روش تاپسیس برای تمامی تصاویر و به ازای تمامی سطوح از انحراف معیار نویز گاووسی و استفاده از روش میانگین رتبه، فیلتر تطبیق بلوک سه بعدی موثرترین فیلتر در کاهش نویز گاووسی می‌باشد و پس از آن فیلترهای حداقل مربعات بیزی-ترکیب مقیاس گاووسی، فیلتر میانگین غیر محلی، فیلتر میانگین، فیلتر وینر، فیلتر کوشی مبتنی بر الگوریتم تراکم ذرات، فیلتر دوطرفه مبتنی بر تراکم ذرات بترتیب دارای رتبه‌های ۴ تا ۷ بوده و فیلتر

جدول ۱۰ روش پیشنهادی با فرضیه دوم

| Rank    | $\sigma = 20$ |           |         |       |
|---------|---------------|-----------|---------|-------|
|         | Lena          | Cameraman | Peppers | House |
| Average | 4             | 5         | 4       | 4     |
| Median  | 8             | 8         | 8       | 8     |
| Wiener  | 6             | 4         | 6       | 7     |
| NLM     | 1             | 3         | 3       | 2     |
| BLS-GSM | 2             | 1         | 1       | 3     |
| BM3D    | 3             | 2         | 2       | 1     |
| BL-PSO  | 7             | 6         | 7       | 6     |
| GC-PSO  | 5             | 7         | 5       | 5     |

|         | $\sigma = 30$ |           |         |       |
|---------|---------------|-----------|---------|-------|
|         | Average       | Cameraman | Peppers | House |
| Average | 5             | 4         | 4       | 4     |
| Median  | 8             | 8         | 8       | 8     |
| Wiener  | 4             | 5         | 7       | 6     |
| NLM     | 1             | 3         | 3       | 2     |
| BLS-GSM | 3             | 2         | 1       | 3     |
| BM3D    | 2             | 1         | 2       | 1     |
| BL-PSO  | 7             | 6         | 6       | 7     |
| GC-PSO  | 6             | 7         | 5       | 5     |

|         | $\sigma = 50$ |           |         |       |
|---------|---------------|-----------|---------|-------|
|         | Average       | Cameraman | Peppers | House |
| Average | 7             | 7         | 5       | 5     |
| Median  | 5             | 8         | 8       | 7     |
| Wiener  | 3             | 4         | 7       | 4     |
| NLM     | 1             | 2         | 3       | 2     |
| BLS-GSM | 4             | 3         | 1       | 3     |
| BM3D    | 2             | 1         | 2       | 1     |
| BL-PSO  | 8             | 6         | 6       | 8     |
| GC-PSO  | 6             | 5         | 4       | 6     |

در جدول ۱۰ برای تصاویر مختلف به ازای اغلب سطوح از انحراف معیار نویز گاووسی و با فرضیه دوم فیلترهای حداقل مربعات بیزی-ترکیب مقیاس گاووسی و فیلتر تطبیق بلوک سه بعدی و فیلتر میانگین غیر محلی دارای رتبه‌ی اول تا سوم بوده و سایر فیلترها در رتبه‌های بعد قرار گرفته و فیلتر میانه دارای رتبه‌ی آخر می‌باشد. با توجه به اینکه به ازای سطوح مختلف از انحراف معیار نویز گاووسی در تصاویر متفاوت، رتبه فیلترها متفاوت می‌باشد لذا برای دستیابی به یک رتبه بندی یکه از روش میانگین رتبه برای تصاویر مختلف به ازای هر درجه از انحراف معیار نویز گاووسی استفاده می‌شود که نتایج در جدول ۱۱ آمده است.

همانطور که در جدول ۱۱ آمده است، به ازای  $\sigma = 20$  تمامی تصاویر فیلترهای حداقل مربعات بیزی-ترکیب مقیاس گاووسی، فیلتر تطبیق بلوک سه بعدی و فیلتر میانگین غیر محلی به ترتیب دارای رتبه‌های اول تا سوم بوده و فیلترهای میانگین، فیلتر کوشی مبتنی بر الگوریتم تراکم ذرات، فیلتر وینر و فیلتر دوطرفه مبتنی بر تراکم ذرات بترتیب دارای رتبه‌های ۴ تا ۷ بوده و فیلتر

## رتبه‌بندی و انتخاب فیلتر مناسب کاهش نویز گاووسی با روش تاپسیس



شکل ۲ خروجی فیلترهای کاهش نویز با انحراف معیار

مبتنی بر تراکم ذرات به ترتیب در رتبه‌های دوم تا هشتم قرار می‌گیرند. فیلتر تطبیق بلوک سه بعدی در کاهش نویز گاووسی با فرضیه دوم نیز کارا بوده و دارای رتبه‌ی اول می‌باشد پس از آن فیلترهای میانگین غیر محلی، فیلتر حداقل مربعات بیزی-ترکیب مقیاس گاووسی، فیلتر میانگین، فیلتر وینر، فیلتر کوشی مبتنی بر الگوریتم تراکم ذرات، فیلتر دوطرفه مبتنی بر تراکم ذرات به ترتیب در رتبه‌های دوم تا هشتم قرار می‌گیرند. بطور کلی با توجه به جدول ۱۲ فیلترهای تطبیق بلوک سه بعدی، فیلتر حداقل مربعات بیزی-ترکیب مقیاس گاووسی و فیلتر میانگین غیر محلی دارای رتبه‌های اول تا سوم بوده و موثرترین فیلترها در کاهش نویز گاووسی به ازای تمامی تصاویر و هر سطح از نویز گاووسی بوده و پس از آن بقیه‌ی فیلترها در کاهش نویز موثر می‌باشند.

## ۵ جمع بندی

در این مقاله انواع فیلترهای کاهش نویز برای کاهش کاهش نویز گاووسی بکار گرفته شد و معیارهای مختلفی برای هر یک از تصاویر حاصل از فیلترها محاسبه شد. فیلترهای بکارگرفته شده برای کاهش نویز به عنوان گزینه‌هایی برای روش تاپسیس در نظر گرفته شد و در نهایت با بکارگیری روش تاپسیس برای هر سطح از نویز توانستیم فیلتر کارای هر سطح از نویز را با توجه به دو فرضیه بدست آوریم. دو فرضیه برای وزن دهنده به معیارها در نظر گرفته شد، فرضیه‌ی اول وزن یکسانی به هر یک از معیارها داده و فرضیه دوم ارزش و اهمیتی (وزن) دو برابر به معیارهای انتروپی، معیار سنجش ارتقا تصویر همانند مشتق مرتبه دوم و تعداد پیکسل‌های لبه داده و اهمیت و ارزش یکسانی به سایر باقی معیارها مدنظر می‌گیرد. با توجه به اینکه به ازای هر سطح از نویز و برای تصاویر مختلف رتبه بندی متفاوتی بدست می‌آید از روش میانگین رتبه استفاده می‌شود. با فرضیه‌ی اول و استفاده از روش میانگین رتبه فیلترهای تطبیق بلوک سه بعدی، فیلتر حداقل مربعات بیزی-ترکیب مقیاس گاووسی، فیلتر میانگین غیر محلی، فیلتر میانگین، فیلتر وینر، فیلتر کوشی مبتنی بر الگوریتم تراکم ذرات، فیلتر دوطرفه مبتنی بر تراکم ذرات به ترتیب در رتبه‌های دوم تا هشتم قرار می‌گیرند. با فرضیه‌ی دوم نیز فیلترهای تطبیق بلوک سه بعدی، فیلتر میانگین غیر محلی، فیلتر حداقل مربعات بیزی-ترکیب مقیاس گاووسی، فیلتر میانگین، فیلتر وینر، فیلتر کوشی مبتنی بر الگوریتم تراکم ذرات، فیلتر دوطرفه مبتنی بر تراکم ذرات به ترتیب در رتبه‌های دوم تا هشتم قرار می‌گیرند. بنابراین نتیجه می‌شود که فیلتر تطبیق بلوک سه بعدی بعنوان کارترین فیلتر و فیلتر میانه ناکارترین فیلتر برای کاهش نویز گاووسی می‌باشد. در ادامه بعنوان پیشنهادی برای کارهای آینده می‌توان به رتبه بندی انواع فیلترها برای کاهش نویزهای دیگر از جمله نویز فلفل نمکی پرداخت و یا از سایر روش‌های تصمیم‌گیری چند معیاره از جمله روش AHP برای رتبه بندی استفاده کرد.

- [16] Wang, Z., et al., *Image quality assessment: from error visibility to structural similarity*. IEEE transactions on image processing, 2004. **13**(4): p. 600–612.
- [17] Asokan, A. and J. Anitha, *Adaptive Cuckoo Search based optimal bilateral filtering for denoising of satellite images*. ISA transactions, 2020. **100**: p. 308–321.
- [18] Dou, L., et al. *Image de-noising based on mathematical morphology and multi-objective particle swarm optimization*. in *Ninth International Conference on Digital Image Processing (ICDIP 2017)*. 2017. International Society for Optics and Photonics.
- [19] Kumar, N., H. Shukla, and R. Tripathi, *Image Restoration in Noisy Free Images Using Fuzzy Based Median Filtering and Adaptive Particle Swarm Optimization–Richardson–Lucy Algorithm*. International Journal of Intelligent Engineering and Systems, 2017. **10**(4): p. 50–59.
- [20] Karami, A. and L. Tafakori, *Image denoising using generalised Cauchy filter*. IET Image Processing, 2017. **11**(9): p. 767–776.
- [21] Huynh-Thu, Q. and M. Ghanbari, *Scope of validity of PSNR in image/video quality assessment*. Electronics letters, 2008. **44**(13): p. 800–801.
- [22] Fu, H.X., Y.C. Wang, and X. Su. *Restoration of Motion Blurred Image Based on PSO Combine Wiener Filter in Ship Imaging System*. in *Advanced Materials Research*. 2014. Trans Tech Publ.
- [23] Young, S.I., B. Girod, and D. Taubman, *Gaussian Lifting for Fast Bilateral and Nonlocal Means Filtering*. IEEE Transactions on Image Processing, 2020. **29**: p. 6082–6095.
- [24] Pan, H., Y.-W. Wen, and H.-M. Zhu, *A regularization parameter selection model for total variation based image noise removal*. Applied Mathematical Modelling, 2019. **68**: p. 353–367.
- [25] Goyal, B., et al., *Image denoising review: From classical to state-of-the-art approaches*. Information Fusion, 2020. **55**: p. 220–244.
- [26] Laine, S., et al. *High-quality self-supervised deep image denoising*. in *Advances in Neural Information Processing Systems*. 2019.
- [27] Hwang, C.-L. and K. Yoon, *Multiple Attribute Decision Making—Methods and Applications* Springer-Verlag Berlin Heidelberg: New York, 1981.
- [28] Chen, S.-J. and C.-L. Hwang, *Fuzzy multiple attribute decision making methods*, in *Fuzzy multiple attribute decision making*. 1992, Springer. p. 289–486.
- [29] Jahanshahloo, G.R., F.H. Lotfi, and M. Izadikhah, *Extension of the TOPSIS method for decision-making problems with fuzzy data*. Applied Mathematics and Computation, 2006. **181**(2): p. 1544–1551.
- [30] Jahanshahloo, G.R., F.H. Lotfi, and A. Davoodi, *Extension of TOPSIS for decision-making problems*

## مراجع

- [1] Cho, T.S., et al., *Image restoration by matching gradient distributions*. IEEE Transactions on Pattern analysis and machine intelligence, 2012. **34**(4): p. 683–694.
- [2] Zhang, H., et al., *Image and video restorations via nonlocal kernel regression*. IEEE Transactions on cybernetics, 2013. **43**(3): p. 1035–1046.
- [3] Sankaran, K.S., S. Bhuvaneshwari, and V. Nagarajan. *A new edge preserved technique using iterative median filter*. in *Communications and Signal Processing (ICCSP), 2014 International Conference on*. 2014. IEEE.
- [4] Gonzalez, C. and E. Woods, *Digital Image Processing* New York. 1995, Addison-Wesley.
- [5] Kazubek, M., *Wavelet domain image denoising by thresholding and Wiener filtering*. IEEE Signal Processing Letters, 2003. **10**(11): p. 324–326.
- [6] Pitas, I. and A.N. Venetsanopoulos, *Nonlinear digital filters: principles and applications*. Vol. 84. 2013: Springer Science & Business Media.
- [7] Portilla, J., et al., *Image denoising using scale mixtures of Gaussians in the wavelet domain*. IEEE Transactions on Image processing, 2003. **12**(11): p. 1338–1351.
- [8] Dabov, K., et al. *Image restoration by sparse 3D transform-domain collaborative filtering*. in *Image Processing: Algorithms and Systems VI*. 2008. International Society for Optics and Photonics.
- [9] Buades, A., B. Coll, and J.-M. Morel. *A non-local algorithm for image denoising*. in *2005 IEEE Computer Society Conference on Computer Vision and Pattern Recognition (CVPR '05)*. 2005. IEEE.
- [10] Zhou, Y., et al., *An iterative speckle filtering algorithm for ultrasound images based on bayesian nonlocal means filter model*. Biomedical Signal Processing and Control, 2019. **48**: p. 104–117.
- [11] Frosio, I. and J. Kautz, *Statistical Nearest Neighbors for Image Denoising*. IEEE Transactions on Image Processing, 2018. **28**(2): p. 723–738.
- [12] Tomasi, C. and R. Manduchi. *Bilateral filtering for gray and color images*. in *Iccv*. 1998.
- [13] Sakthidasan, K. and N.V. Nagappan, *Noise free image restoration using hybrid filter with adaptive genetic algorithm*. Computers & Electrical Engineering, 2016. **54**: p. 382–392.
- [14] Wang, C., B. Xue, and L. Shang. *PSO-based parameters selection for the bilateral filter in image denoising*. in *Proceedings of the Genetic and Evolutionary Computation Conference*. 2017. ACM.
- [15] Eberhart, R. and J. Kennedy. *A new optimizer using particle swarm theory*. in *Micro Machine and Human Science, 1995. MHS'95., Proceedings of the Sixth International Symposium on*. 1995. IEEE.



نیما جعفری نویمی پور تحصیلات خود در مقطع کارشناسی مهندسی کامپیوتر (نرم افزار) در دانشگاه آزاد اسلامی واحد تبریز و کارشناسی ارشد مهندسی کامپیوتر (معماری کامپیوتر) را در همان دانشگاه به پایان رساند. سپس مدرک دکتری خود را سال ۱۳۹۳ در رشته مهندسی کامپیوتر (معماری کامپیوتر) از دانشگاه آزاد اسلامی واحد علوم و تحقیقات تهران اخذ کرد. ایشان هم اکنون عضو هیات علمی و دانشیار گروه مهندسی کامپیوتر دانشگاه آزاد اسلامی واحد تبریز بوده و تاکنون مقالات زیادی در نشریات و کنفرانس‌های بین‌المللی معتبر به چاپ رسانده است. همچنین، در سال ۲۰۲۰ با انتشار فهرست دانشمندان دو درصد برتر جهان توسط دانشگاه استنفورد، جعفری نویمی پور جزو دانشمندان برتر جهان قرار گرفت. وی به عنوان کمک سردبیر و عضو کمیته علمی در چندین نشریه با نمایه JCR همکاری داشته و زمینه اصلی پژوهشی وی رایانش ابری، اینترنت اشیا، سیستم‌های توزیع شده، هوش محاسباتی، نانوکامپیوترها و الگوریتم‌های بهینه‌سازی است.

with interval data: Interval efficiency. Mathematical and Computer Modelling, 2009. **49**(5–6): p. 1137–1142.

- [31] Jahanshahloo, G.R., F.H. Lotfi, and M. Izadikhah, *An algorithmic method to extend TOPSIS for decision-making problems with interval data*. Applied mathematics and computation, 2006. **175**(2): p. 1375–1384.
- [32] Abo-Sinna, M.A. and A.H. Amer, *Extensions of TOPSIS for multi-objective large-scale nonlinear programming problems*. Applied Mathematics and Computation, 2005. **162**(1): p. 243–256.
- [33] Xu, G., et al., *A neutrosophic approach based on TOPSIS method to image segmentation*. International Journal of Computers Communications & Control, 2018. **13**(6): p. 1047–1061.
- [34] Galandouz, H.M., M.E. Moghaddam, and M. Shamsfard, *A Weighted Multi-Criteria Decision Making Approach for Image Captioning*. arXiv preprint arXiv:1904.00766, 2019.
- [35] Panetta, K., et al., *Nonlinear unsharp masking for mammogram enhancement*. IEEE Transactions on Information Technology in Biomedicine, 2011. **15**(6): p. 918–928.
- [36] Zhou, Y., K. Panetta, and S. Agaian. *Human visual system based mammogram enhancement and analysis*. in 2010 2nd International Conference on Image Processing Theory, Tools and Applications. 2010. IEEE.
- [37] Shannon, C.E., *A mathematical theory of communication*, Bell Systems Tech. J, 1948. **27**: p. 379–423.
- [38] Gonzales, R. and B. Fittes, *Gray-level transformations for interactive image enhancement*. Mechanism and Machine Theory, 1977. **12**(1): p. 111–122.



مهرداد نباخت تحصیلات خود را در مقطع کارشناسی ریاضی کاربردی در دانشگاه آزاد اسلامی واحد شبستر و کارشناسی ارشد ریاضی کاربردی را در دانشگاه آزاد اسلامی واحد تبریز به پایان رسانده و هم اکنون دانشجوی دکتری رشته‌ی ریاضی کاربردی گرایش تحقیق در عملیات دانشگاه آزاد اسلامی واحد تبریز می‌باشد، ایشان عضو هیات علمی دانشگاه آزاد ارومیه بوده که بیشتر در حوزه‌ی تحلیل پوششی داده‌ها و الگوریتم‌های فرآیندکاری در پردازش تصویر فعالیت دارند.



فرزین مدرس خیابانی دانشیار ریاضی کاربردی گرایش تحقیق در عملیات دانشگاه آزاد اسلامی واحد تبریز که در زمینه‌های داده کاوی، بهینه سازی غیر خطی، نظریه صفت، هوش مصنوعی و الگوریتم‌های فرآیندکاری فعالیت دارد.